

УДК 621.317.733

М. А. АХМАМЕТЬЕВ, С. М. ҚАЗАКОВ, К. М. СОБОЛЕВСКИЙ,
В. Н. СУМИТЕЛЬНОВ, Ю. Я. ШАГАЛОВ
(Новосибирск)

ИЗМЕРИТЕЛЬ КОМПЛЕКСНЫХ ПРОВОДИМОСТЕЙ С АВТОМАТИЧЕСКОЙ РЕГИСТРАЦИЕЙ МАЛЫХ ИЗМЕНЕНИЙ ИЗМЕРЯЕМЫХ ПАРАМЕТРОВ

При исследовании ряда физико-химических процессов, контролируемых по изменениям емкости и активной проводимости датчиков, возникает необходимость в приборе, который обеспечивал бы следующие возможности: а) измерение с погрешностью 0,2—0,3% начальных значений емкости и активной проводимости объектов, тангенс угла потерь которых находится в диапазоне 0,001—1000; б) автоматическую регистрацию малых изменений параметров с предельной разрешающей способностью 0,01%; в) измерение начальных значений параметров и их изменений в непрерывном диапазоне частот 1—10 кГц; г) дистанционное подключение объекта по трехзажимной схеме. Названному комплексу возможностей удовлетворяет описываемый ниже измеритель комплексных проводимостей (условное название ИКП-1), который был разработан в Институте автоматики и электрометрии СО АН СССР в 1969 году для исследования металло-керамических композиций.

Принцип действия прибора ИКП-1 можно уяснить из блок-схемы, приведенной на рис. 1. Напряжение переменного тока рабочей частоты от внутреннего (или внешнего) генератора питания (ГП) через повторитель напряжения (ПН) подается на мостовую измерительную цепь [1], состоящую из трансформатора напряжения (ТН), переключателя пре-

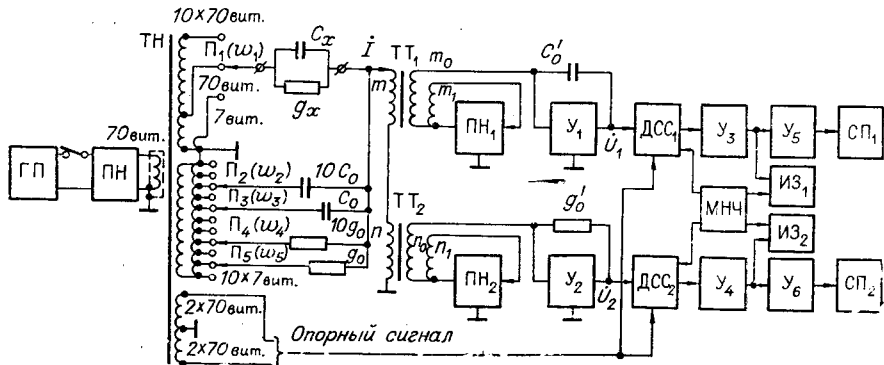


Рис. 1.

делов Π_1 , декадных переключателей Π_2 — Π_5 , образцовых мер емкости C_0 , $10C_0$ и активной проводимости g_0 , $10g_0$, трансформаторов тока TT_1 , TT_2 , повторителей напряжения ΠH_1 , ΠH_2 , обеспечивающих режим работы трансформаторов тока, и уравновешивающих усилителей, в цепях отрицательной обратной связи которых включены вспомогательные образцовые меры C'_0 , g'_0 .

Ток неравновесия \dot{I} , оставшийся после частичной двухдекадной компенсации начальных значений C_n , g_n измеряемых параметров C_x , g_x и синфазной составляющей ΔCC_1 , ΔCC_2 и в виде напряжений низкой частоты, амплитуда и фаза которых определяют соответственно модуль и знак ΔC_x и Δg_x , подаются на усилители низкой частоты U_3 , U_4 и далее через усилители мощности U_5 и U_6 —на самопищащие приборы SP_1 , SP_2 . Частота Ω выходных напряжений детекторов CC_1 , CC_2 задается мультивибратором низкой частоты МНЧ, который одновременно вырабатывает опорные сигналы для индикаторов знака $I\bar{Z}_1$ и $I\bar{Z}_2$. Индикаторы знаков посредством световых табло с индексами «+», «-» указывают знаки величин ΔC_x и Δg_x . Самопищащие приборы SP_1 и SP_2 регистрируют на диаграммной ленте абсолютные значения ΔC_x и Δg_x , являющиеся функциями времени. Рассмотрим принципы построения и схемы основных узлов прибора.

Положим, что в измерительной цепи прибора используются идеальные трансформаторы тока и напряжения. Тогда ток неравновесия \dot{I} можно найти следующим образом:

$$\dot{I} = \dot{E}(\omega_1 g_x - \omega_4 10g_0 - \omega_5 g_0) + j\omega \dot{E}(\omega_1 C_x - \omega_2 10C_0 - \omega_3 C_0), \quad (1)$$

где \dot{E} —витковое напряжение трансформатора ТН. Подставив в (1) значения $C_x = C_n + \Delta C_x$ и $g_x = g_n + \Delta g_x$, где $C_n = \frac{\omega_2}{\omega_1} 10C_0 + \frac{\omega_3}{\omega_1} C_0$ и $g_n = \frac{\omega_4}{\omega_1} 10g_0 + \frac{\omega_5}{\omega_1} g_0$, и положив, что погрешности трансформаторов тока и уравновешивающих усилителей пренебрежимо малы, получим следующие выражения для выходных напряжений уравновешивающих усилителей:

$$\dot{U}_1 = \frac{\dot{E}m\omega_1\Delta C_x}{m_0 C'_0} - j \frac{\dot{E}m\omega_1\Delta g_x}{m_0 \omega C'_0}; \quad (2)$$

$$\dot{U}_2 = \frac{\dot{E}n\omega_1\Delta g_x}{n_0 g'_0} + j \frac{\dot{E}n\omega_1\Delta C_x}{n_0 g'_0}. \quad (3)$$

Из (2) и (3) видно, что после выбора предела измерения коммутацией витков обмотки ω_1 и компенсации начальных значений измеряемых параметров C_n , g_n коммутацией витков ω_2 — ω_5 синфазные с \dot{E} составляющие напряжений \dot{U}_1 , \dot{U}_2 прямо пропорциональны остаточным значениям измеряемых параметров ΔC_x , Δg_x . Полагая, что детекторы синфазной составляющей обладают высоким коэффициентом подавления квадра-

турной составляющей входных сигналов [второго члена выражений (2)]

Абсолютные значения C_x и g_x получаются в виде алгебраической суммы начальных значений измеряемых параметров C_n и g_n , отсчитываемых по положениям переключателей $\Pi_2(w_2)$, $\Pi_3(w_3)$ и $\Pi_4(w_4)$, $\Pi_5(w_5)$ и значений остаточных параметров ΔC_x и Δg_x , отсчитываемых по шкалам самопищущих приборов, измеряющих усиленные значения напряжений U_{d1} и U_{d2} .

Погрешность определения начальных значений измеряемых параметров C_n и g_n обусловлена погрешностью задания плечевых отношений витков $\frac{w_2}{w_1}, \frac{w_3}{w_1}, \frac{w_4}{w_1}, \frac{w_5}{w_1}$ в трансформаторе напряжения и погрешностью образцовых мер C_0 и C'_0 . С целью уменьшения погрешности отношения витков трансформатора напряжений, выполненного на кольцевом ферритовом сердечнике, его вторичные обмотки намотаны двумя жгутами [2], а для улучшения электромагнитной связи между жгутами используется параллельное включение равновитковых обмоток разных жгутов [3]; при этом погрешность плечевых отношений трансформатора напряжения не превышает 0,05 %. В качестве образцовых мер емкости $C_0 = 100$ пФ и $10C_0 = 1000$ пФ используются слюдяные конденсаторы класса 0,1. В качестве образцовых мер проводимости используются микропроволочные резисторы 10 кОм и 100 кОм класса 0,05.

Погрешность измерения остаточных значений ΔC_x и Δg_x определяется следующими факторами: погрешностью трансформаторов тока, глубиной отрицательной обратной связи уравновешивающих усилителей, погрешностью детекторов синфазной составляющей, погрешностью самопищущих приборов, а также нестабильностями напряжения источника питания измерительной цепи и коэффициентов усиления усилителей низкой частоты.

Для уменьшения вносимых погрешностей трансформатор тока должен иметь низкое входное сопротивление, тесную индуктивную связь между обмотками и высокое выходное сопротивление. Упомянутые характеристики могут быть получены в трансформаторе тока, принципиальная схема которого приведена на рис. 2, а, где m , m_0 , m_1 — соответственно входная, выходная и вспомогательная обмотки; ПН — повторитель напряжения, имеющий высокое входное и низкое выходное сопротивление и коэффициент передачи по напряжению k_n , близкий к единице;

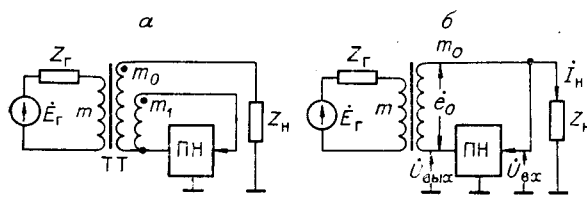


Рис. 2.

Z_r — выходное сопротивление эквивалентного источника сигнала E_r ; z_n — сопротивления нагрузки.

Поясним действия трансформатора тока на более простом варианте, приведенном на

рис. 2, б. Полагая $\dot{U}_{\text{вых}} = k_{\text{n}} \dot{U}_{\text{вх}}$ и $\dot{U}_{\text{вх}} = I_{\text{n}} z_{\text{n}}$ и пренебрегая входным током повторителя напряжений, найдем выражение для э. д. с. e_0 :

$$\dot{e}_0 = I_{\text{n}}(z_0 + z_{\text{n}}) - k_{\text{n}} \dot{U}_{\text{вх}} = I_{\text{n}} z_0 + I_{\text{n}} z_{\text{n}} (1 - k_{\text{n}}), \quad (6)$$

где z_0 — остаточное сопротивление обмотки m_0 . Очевидно, что при $k_{\text{n}} \rightarrow 1$ величина e_0 (а следовательно, и входное сопротивление трансформатора) будет обусловлена остаточным сопротивлением z_0 .

Входное сопротивление всего трансформатора еще более уменьшается, если применяется дополнительная обмотка и осуществляется соединение элементов в соответствии со схемой рис. 2, а. В данном случае при $m_1 = m_0$ напряжение $\dot{U}_{\text{вх}} = I_{\text{n}}(z_0 + z_{\text{n}})$, подаваемое на вход повторителя ПН с дополнительной обмотки, отличается благодаря работе ее в режиме холостого хода от напряжения на обмотке m_0 на величину падения напряжения на остаточном сопротивлении z_0 , т. е. в соответствии с (6) в $(1 - k_{\text{n}})$ раз уменьшается влияние обоих сопротивлений. Заметим, что при конкретном значении выходного сопротивления $z_{\text{n}} \neq 0$ повторителя напряжения эффект уменьшения влияния z_0 и z_{n} на входное сопротивление $z_{\text{вх}}$ трансформатора тока несколько снижается и последнее может быть найдено из формулы

$$z_{\text{вх}} = z'_0 + z_{\text{n}, \text{э}} \left(\frac{m_1}{m_0} \right)^2, \quad \text{где } z_{\text{n}, \text{э}} = \frac{z_{\text{n}} + (z_{\text{n}} - z_0)(1 - k_{\text{n}})}{1 + k_{\text{n}} \left(\frac{m_1}{m_0} - 1 \right)}.$$

Выражение для выходного сопротивления легко получить, исходя из эквивалентной схемы генератора тока, путем расчета тока короткого замыкания и тока при реальной нагрузке. Расчет показывает, что выходное сопротивление увеличивается по сравнению с сопротивлением обычного трансформатора тока на дополнительную величину

$$z_{\text{вых}, \text{д}} = \frac{z_{\text{n}} + z_0 k_{\text{n}} \frac{m_1}{m_0}}{1 - k_{\text{n}}}.$$

Точность передачи по току зависит, как известно, от величины эквивалентной нагрузки: $I_{\text{вых}} = I_{\text{к. з}} \left(1 - \frac{z_{\text{n}, \text{э}}}{z_{\text{вых}, \text{т}}} \right)$, где $z_{\text{вых}, \text{т}}$ — сопротивление трансформатора относительно выводов вторичной обмотки. Очевидно, что при $z_{\text{n}, \text{э}} \rightarrow 0$ погрешность передачи стремится к нулю.

Принципиальная электрическая схема трансформатора токов, построенного на основе изложенного выше принципа, и уравновешивающего усилителя для канала измерения ΔC_x (или Δg_x) приведена на рис. 3.

Обмотки трансформатора тока намотаны жгутом. Повторитель напряжения собран на транзисторах T_1 — T_3 и обеспечивает коэффициент передачи по напряжению порядка 0,998. Фильтр, состоящий из конденсаторов C_1 , C_2 и резистора R_1 , обеспечивает устойчивую работу повторителя напряжения с трансформатором токов.

Уравновешивающий усилитель собран на транзисторах T_4 — T_7 . Для получения большого коэффициента усиления по току в схеме применена положительная обратная связь через каскад с общей базой на транзисторе T_7 . Регулировка глубины обратной связи осуществляется изменением сопротивления резистора R_2 . Фильтр, состоящий из резисторов R_3 , R_4 и конденсатора C_3 , обеспечивает подавление низкочастотных по-

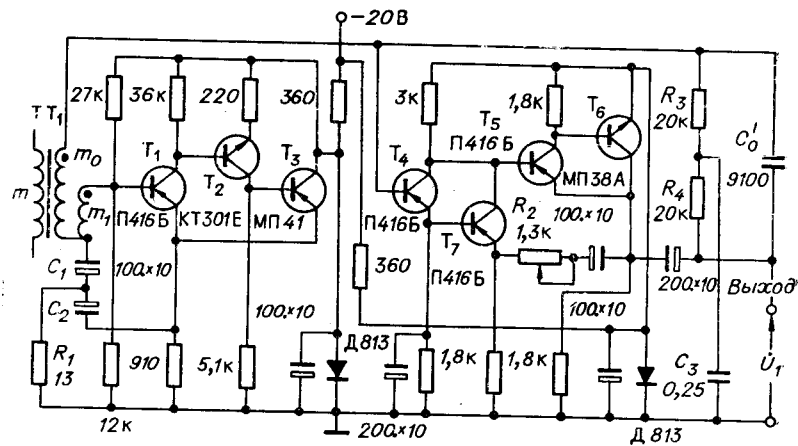


Рис. 3.

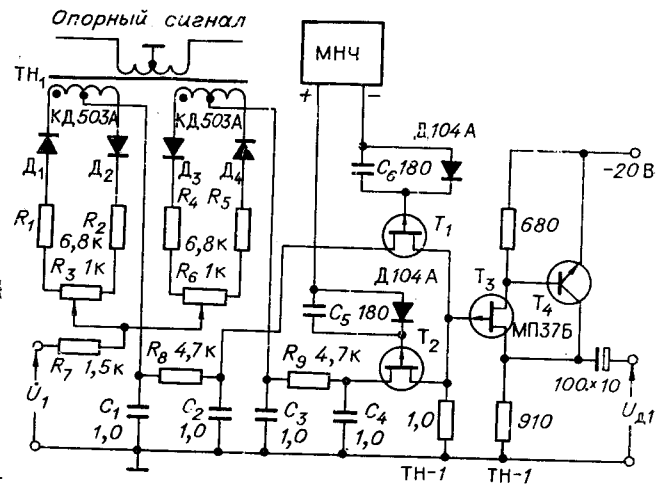


Рис. 4.

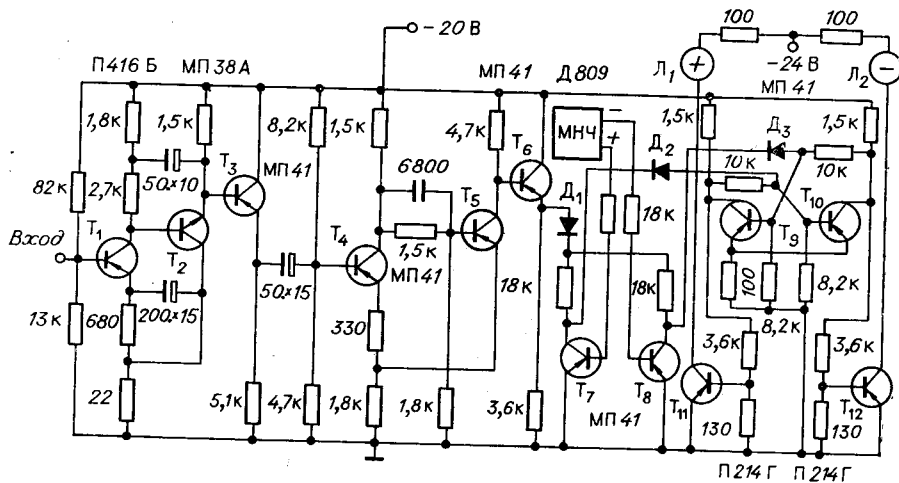


Рис. 5.

мех (промышленной частоты). В цепи отрицательной обратной связи уравновешивающего усилителя канала Δg_x включена образцовая активная проводимость $g_0 = \frac{1}{12 \cdot 10^3} \text{ Ом}^{-1}$.

Принципиальная схема детектора ДСС_1 (ДСС_2) приведена на рис. 4. Ключевые диоды D_1 , D_2 и D_3 , D_4 , включены так, что опорный сигнал открывает их поочередно; при этом на конденсаторах C_2 и C_4 вырабатываются разнополярные напряжения U'_{d1} и U''_{d1} :

$$U'_{d1} = \frac{E m \omega_1}{m_0 C'_0} \left(k_{c1} \Delta C_x - k_{k1} \frac{\Delta g_x}{\omega} \right); \quad U''_{d1} = -U'_{d1},$$

где k_{c1} и k_{k1} — коэффициенты передачи синфазной и квадратурной составляющих напряжений \dot{U}_1 соответственно. Далее напряжения U_{d1} и U''_{d1} посредством ключей, выполненных на полевых триодах T_1 и T_2 , управляемых МНЧ, поочередно подключаются ко входу повторителя напряжения T_3 и T_4 . Результирующее напряжение U_{d1} на выходе детектора ДСС_1 будет иметь вид

$$U_{d1} = \frac{E n \omega_1}{m_0 C'_0} \left(k_{c1} \Delta C_x - k_{k1} \frac{\Delta g_x}{\omega} \right) \operatorname{sign} \sin \Omega t; \quad (7)$$

аналогично для выходного напряжения U_{d2} детектора ДСС_2 имеем

$$U_{d2} = \frac{E n \omega_1}{n_0 g_0} (k_{c2} \Delta g_x - k_{k2} \omega \Delta C_x) \operatorname{sign} \sin \Omega t, \quad (8)$$

где k_{c2} и k_{k2} — коэффициенты передачи синфазной и квадратурной составляющих напряжения \dot{U}_2 соответственно.

Из (7) и (8) видно, что погрешность выделения синфазной составляющей в детекторах ДСС_1 и ДСС_2 зависит от абсолютных значений приращений $\frac{\Delta g_x}{\omega}$, $\omega \Delta C_x$ и соотношений между коэффициентами $\frac{k_{c1}}{k_{k1}}$, $\frac{k_{c2}}{k_{k2}}$, а также от стабильности коэффициентов k_{c1} и k_{c2} .

С целью уменьшения погрешности детекторов и расширения их частотной полосы обмотки трансформатора опорного сигнала TH_1 намотаны жгутом на сердечнике с высокой магнитной проницаемостью, ключи выполнены на высокочастотных диодах КД503А, а преобразование постоянного напряжения в переменное осуществляется полевыми триодами, имеющими малые собственные остаточные параметры [4]. Рассмотренные детекторы вместе с уравновешивающими усилителями в полосе звуковых частот обеспечивают подавление квадратурной составляющей входного сигнала более чем в 100 раз.

Принципиальная схема усилителя Y_3 и индикатора знака IZ_1 приведена на рис. 5. Усилитель Y_3 собран на транзисторах T_1 — T_3 , а индикатор знака — на транзисторах T_4 — T_{12} . Индикатор знака работает следующим образом. При положительном приращении ΔC_x напряжение на конденсаторе C_2 (см. рис. 4) положительно, а на конденсаторе C_4 отрицательно. После замыкания ключа T_2 напряжение на эмиттере транзистора T_6 (см. рис. 5) превысит напряжение пробоя диода D_1 и отрицательный потенциал через диод D_1 попадет на коллекторы триодов T_7 и T_8 . Так как при этом транзистор T_7 закрыт положительным напряжением, поступающим от МНЧ, то отрицательный потенциал с коллектора T_7 через диод D_2 пройдет на базу T_{10} и приведет к открыванию

ключа T_{11} , через который питается лампочка L_1 , освещая индекс «+». Если знак приращения изменится на обратный, то изменятся на обратные полярности напряжений на конденсаторах C_2, C_4 (см. рис. 4), что приведет к периодическому с частотой Ω открыванию ключа на транзисторе T_{12} (см. рис. 5) и подсветке индекса «—».

С целью уменьшения погрешностей, вызванных нестабильностями внешнего генератора питания и отдельных узлов прибора, в последнем предусмотрена возможность калибровки шкал самопищущих приборов; для этого отключают исследуемый объект, переключатели Π_2 и Π_4 устанавливают в нулевое положение, а переключатели Π_1 и Π_3 на значение

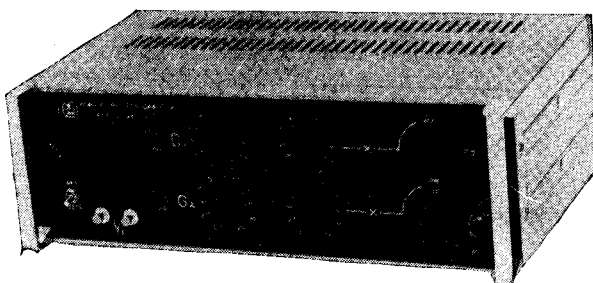


Рис. 6.

«1» и, регулируя коэффициенты усиления усилителей Y_5 и Y_6 (см. рис. 1), устанавливают стрелки самопищущих приборов на конечные отметки.

Технические характеристики прибора. Диапазон измеряемых емкостей на трех пределах: 0,01—10 000 пФ. Диапазон измеряемых активных проводимостей g_x на трех пределах при использовании внутреннего генератора (1590 Гц): 10^{-10} — 10^{-4} Ом $^{-1}$. Диапазон регистрирующих приращений емкости C_x и активной проводимости g_x : $(5 \cdot 10^{-5}—10^{-1}) C_x$, $(5 \cdot 10^{-5}—10^{-1}) g_x$. Приведенная статическая погрешность по C_x и g_x на всех пределах не превышает 0,3%. Приведенная погрешность регистрации приращений зависит от типа регистрирующего прибора и при использовании самописца Н370-М не превышает 5%. Измерение емкостей 1—10 000 пФ возможно при напряжении на исследуемом объекте 0,4 В, емкостей 0,1—1000 пФ при напряжении 4 В, емкостей 0,01—100 пФ при напряжении 40 В. Потребляемая мощность от сети $220 \text{ В} \pm 10\%$, 50 Гц: 23 ВА. Габариты $480 \times 340 \times 170$ мм. Вес 14 кг. Внешний вид прибора приведен на рис. 6.

ЛИТЕРАТУРА

1. Ф. Б. Гриневич, К. М. Соболевский, М. А. Ахмадьев, Е. Е. Добрин, С. М. Казаков. Автокомпенсационный мост переменного тока. Авторское свидетельство № 215313.—ИПОТЗ, 1968, № 3.
2. А. Л. Грохольский, Э. Л. Кащеев. Методы обеспечения тесной связи плечевых индуктивно связанных элементов на основе мультифилярных систем.—В сб. «Проблемы электрометрии». Новосибирск, «Наука», 1967.
3. Ф. Б. Гриневич. Трансформатор для мостов с индуктивно связанными плечами. Авторское свидетельство № 168787.—БИ, 1965, № 5.
4. Шипили. Аналоговые ключи на полевых транзисторах.—Электроника, 1964, № 32.

Поступила в редакцию
23 апреля 1971 г.